

2

И Н С Т И Т У Т
ЯДЕРНОЙ ФИЗИКИ СОАН СССР

И Я Ф 4 - 70

А.А.Лившиц, Ю.В.Маклаков

МАГНИТНАЯ СИСТЕМА СИНХРОТРОНА
на энергию 500 Мэв

Новосибирск

1970

А.А.Лившиц, Ю.В.Маклаков

МАГНИТНАЯ СИСТЕМА СИНХРОТРОНА

на энергию 500 Мэв.

АННОТАЦИЯ

В статье описывается магнитная система синхротрона Б-4 на 500 Мэв. Приводится описание конструкции магнитной и вакуумной системы. Приведены результаты магнитных измерений, вакуумных и силовых испытаний.

Синхротрон Б-4, магнит которого описывается ниже, пред назначается в качестве инжектора в электрон-позитронный накопитель ВЭПП-3.

Ускоритель имеет следующие основные параметры:

1. Радиус равновесной орбиты	- 1 м;
2. Радиальная апертура	- 14 см;
3. Вертикальная апертура	- 9 см;
4. Максимальное поле на орбите	- 17 кгс;
5. Число рабочих импульсов в секунду	- 80/10
6. Энергия	- 500 Мэв.

При проектировании магнита приследовалась цель получения хорошего по форме поля в максимальной апертуре, создания магнита с минимальным весом и минимальной энергетикой, простого в конструкции и изготовлении, и устойчивого к воздействию импульсных силовых нагрузок.

В связи с этим была выбрана магнитная система, показанная на рис.1. Эта система в смысле создания магнитного поля представляет собой "коаксиал", частично заполненный железом, в котором ток, текущий по шине 1, создает необходимые ампервитки на зазоре, а обратный ток замыкается по шине (2) и частично по соединенному с ней корпусу (3). Доля тока, текущего по корпусу (3) определяется полем у стенки корпуса, которая мала пока железа велико. Благодаря такой схеме магнитной системы отсутствуют поля рассеивания (за исключением потоков, проходящих через скин-слой шин), что экономит вес магнита и создает условия для получения хорошей формы поля в широкой апертуре. Формирование поля в этой схеме производится, как полюсными на конечниками железа, так и формой шин, поскольку ток протекает в скин-слое. Так как наружная шина находится под потенциалом корпуса, который заземлен, то потенциальной является только внутренняя шина, что удобно конструктивно и эксплуатационно и облегчает коммутацию отдельных частей магнита.

Одновитковость магнита облегчает создание простой и прочной конструкции.

В соответствии с выбранной схемой была создана конструкция магнита, показанная на рис.1 и 2.

В вакуумный кожух (3), сваренный из нержавеющей стали 1Х18Н9Т на эпоксидной смоле горячего отверждения залиты под

давлением блоки магнитопровода (4). Сами блоки заранее клеются из железа Э43 толщиной 0,5 мм и имеют толщину 140 мм. При заливке в корпус блоки разделяются друг от друга прокладками (5) из стеклотекстолита толщиной 12 мм. Эти прокладки исполняют две функции: через них проходят болты, крепящие внутреннюю шину, кроме того, из-за наличия на прокладках скосов "В" и отверстий в корпусе (6), апертура магнита сообщается с форкамерой 7. После заливки корпус с блоками протачивается на карусельном станке, где с одного установка обрабатываются полностью поверхности магнитопровода, посадочные места под наружную и внутреннюю шины, а также контрольно-установочные поверхности, необходимые для выставки при общей сборке отдельных квадрантов магнита друг относительно друга.

После токарной обработки весь узел протравливается для снятия замыканий пластин магнитопровода и промывается.

Внутренняя шина (1) через изоляторы из стеклотекстолита СТЭФ базируется на поверхность "А" магнитопровода, и как указывалось выше, подтягивается болтами, которые изолированы от корпуса изоляционными шайбами. Наружная шина крепится к корпусу (3) непосредственно, без всяких изоляторов.

Каждый отдельный блок магнитопровода охвачен корректирующим витком, позволяющим производить азимутальные вариации магнитного поля. Токоподвод к шинам осуществляется плоским "коаксиалом" (рис.2), причем, поле на торце магнита формируется коробкой (8), которая крепится к токопроводу. На другом конце шины замкнуты перемычкой, на которой крепится коробка, аналогичная коробке (8). В вакуумном отношении конструкция уплотняется через резину крышкой (9) и крышкой (10). Откачные агрегаты крепятся к крышке (9), причем, их место по азимуту строго не фиксировано, благодаря наличию форкамеры.

Как видно из рисунков 1 и 2 и описания в конструкции отсутствует отдельная вакуумная камера. Её заменяет вся конструкция в целом. Указанное обстоятельство является несомненным плюсом, т.к. экономится активная и реактивная мощность питания и упрощается вакуумная система.

Указанное конструктивное решение было принято после испытаний на газоотделение блоков железа, склеенных эпоксидной смолой. Газоотделение блоков после шестичасовой тренировки оказалось равным 10^{-6} лтор/сек.см², что несколько лучше га-

зоотделения оргстекла и допустимо в вакуумном отношении.

Для снятия мощности, выделяемой в железе, предусмотрены охлаждающие трубы на корпусе. Железо отдает тепло на корпус через слой эпоксидной смолы 2-3 мм. Несмотря на это, охлаждение идет более интенсивно, чем конвекцией в воздухе, что позволяет иметь большое число (до 30) рабочих импульсов в секунду при поле 17 кгс и $T_{имп} = 6$ мсек. Охлаждение шин производится трубками, впаянными в них.

Описанная конструкция была изготовлена и подвергнута испытаниям, которые преследовали следующие цели: *)

1. Снятие картины магнитного поля в диапазоне $100 - 18 \cdot 10^3$ гс.
2. Исследование прочности конструкции при длительном воздействии силовых импульсных нагрузок.
3. Исследование вакуумных параметров.

Результаты магнитных измерений

Магнитные измерения показали, что в диапазоне полей $100 - 18000$ гс в медианной плоскости во всей радиальной апертуре $\frac{\Delta n}{n} \leq 5\%$. Измерения (n) показали, что до полей 14 кгс в диапазоне $\chi = \pm 4$ см $\frac{\Delta n}{n} \leq 10\%$, а на поле 18 кгс для $\chi = \pm 4$ см $\frac{\Delta n}{n} \leq 20\%$. В области $\chi = \pm 2$ см для всех полей $\frac{\Delta n}{n} \leq 6\%$. Отметим, что для увеличения радиальной апертуры с хорошим " n " была проведена коррекция профилей шин, а именно при " n " на равновесной орбите 0,6, профиль наружной шины был выполнен для $n = 0,7$, а внутренней для $n = 0,5$. По сравнению с некорректированным профилем это дало уменьшение Δn у шины в медианной плоскости с 0,15 до 0,03. Измерение поля в области пазов показало, что при $\chi = \pm 2$ см Δn в их области 0,1, что допустимо, учитывая их малую азимутальную протяженность. Измерение азимутальной неоднородности блоков показало их идентичность с точностью 10^{-3} .

Результаты воздействия импульсных силовых нагрузок

Во время силовых испытаний конструкция была нагружена усилием, соответствующим 18 кгс $\sim 10^6$ раз. Каких-либо

*) Конструкция была изготовлена в модели $M:1$ с $n=0,6$

дефектов конструкции обнаружено не было. Собственные частоты магнита и внешних его элементов оказались близки к расчётным. Максимальная амплитуда колебаний шин не превысила 0,04 мм.

Вакуумные испытания

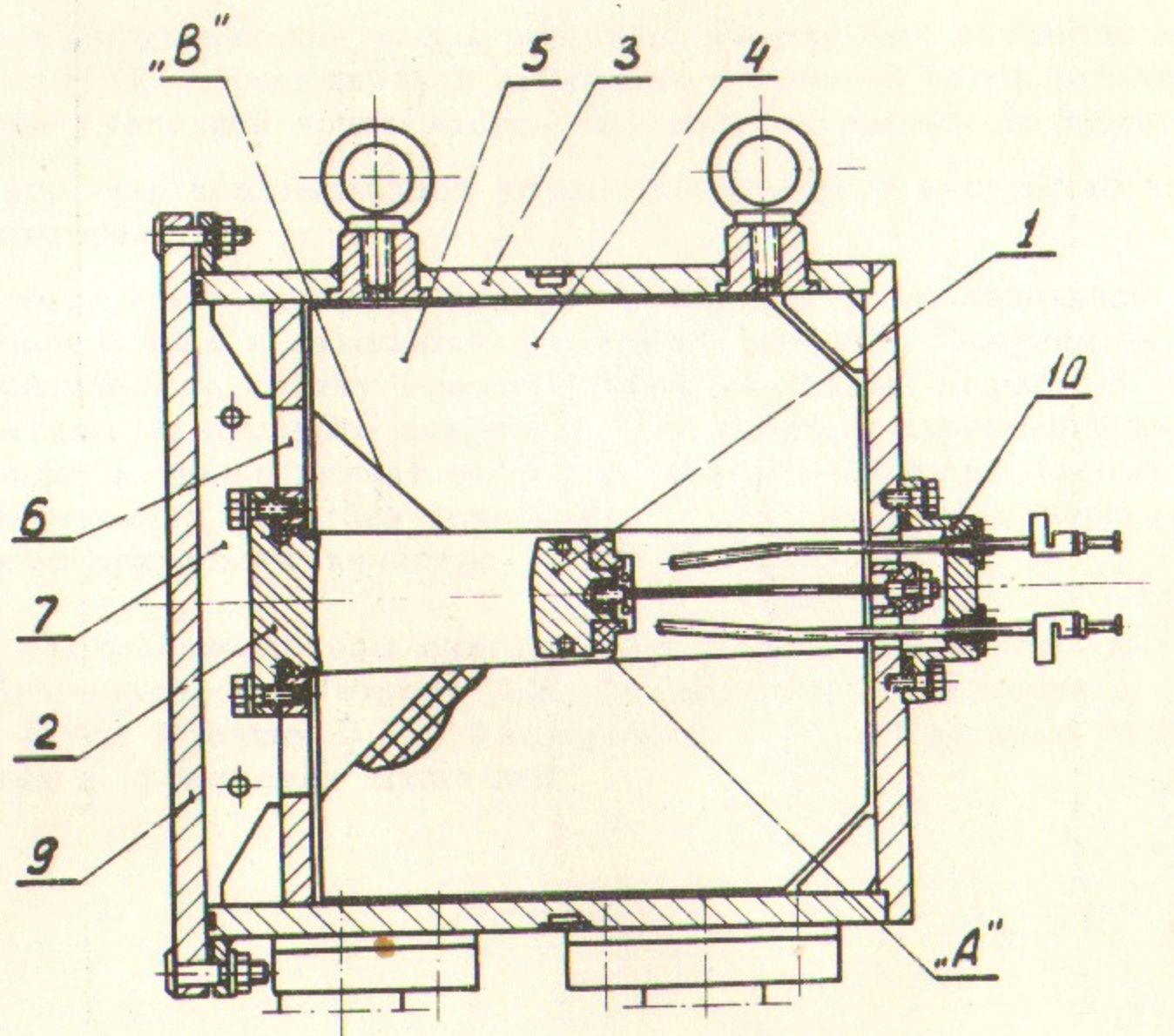
Для получения вакуума в магните, к нему был подсоединен насос Н-5С с стандартной ловушкой. После 48 часов откачки в наиболее удаленной точке насоса был получен вакуум не хуже $7 \cdot 10^{-6}$ торр, что подтверждает удовлетворительные вакуумные качества системы.

В настоящее время синхротрон Б-4 с магнитом описанной конструкции собран и находится в процессе запуска. Получен захват электронов на орбиту (фотография синхротрона см.рис.3). Эксперименты по проверке вакуумных и магнитных характеристик синхротрона, а также захват частиц в устойчивый режим (время жизни частиц при этом без ускорения ~ 30 мксек) подтверждают удовлетворительное качество магнитной системы.

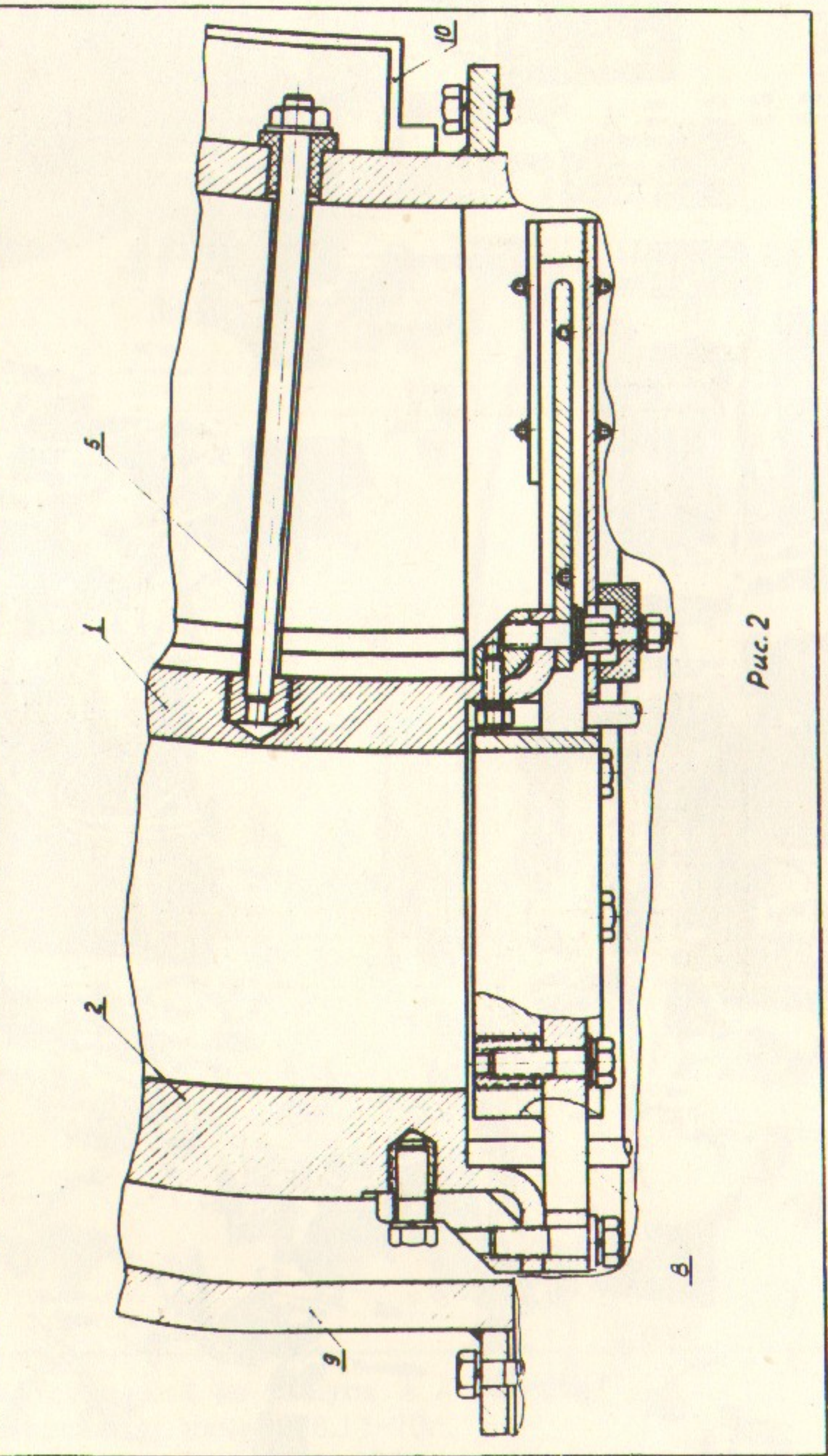
В заключение авторы считают своим приятным долгом выразить благодарность Петрову В.В. за полезные обсуждения и Туркину В.Ф., Купчику В.И., Факторовичу Б.И. и Гельцелю М.Ю. за участие в проведении испытаний.

Л и т е р а т у р а

1. Л.П.Данилов, А.А.Лившиц, Г.И.Сильвестров, Э.М.Трахтенберг "Электромагнит синхротрона". Авторское свидетельство № 212394.



Puc. 1



Puc. 2

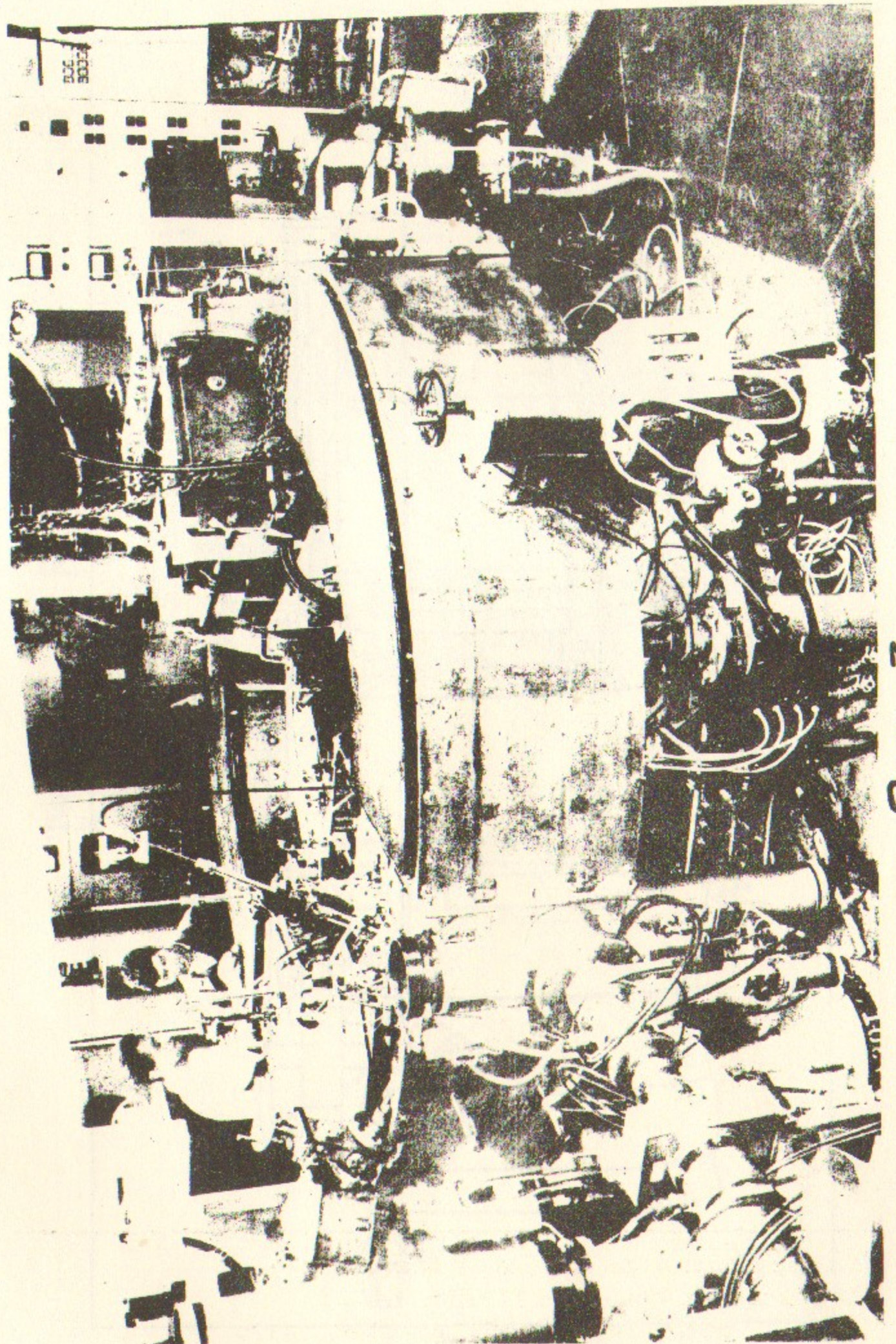


Рис. 3.

Ответственный за выпуск А.А.Лившиц
Подписано к печати 6.11-70г.
Усл. 0.2 печ.л., тираж 150 экз. Бесплатно.
Заказ № 4 . ПРЕПРИНТ.

Отпечатано на ротапринте в ИЯФ СО АН СССР, ив.